

Università degli Studi di Padova – Dipartimento di Ingegneria Industriale
Corso di Laurea in Ingegneria Aerospaziale
A.A. 2022 / 2023

Relazione per la prova finale
«Analisi strutturale di un telaio di bicicletta»

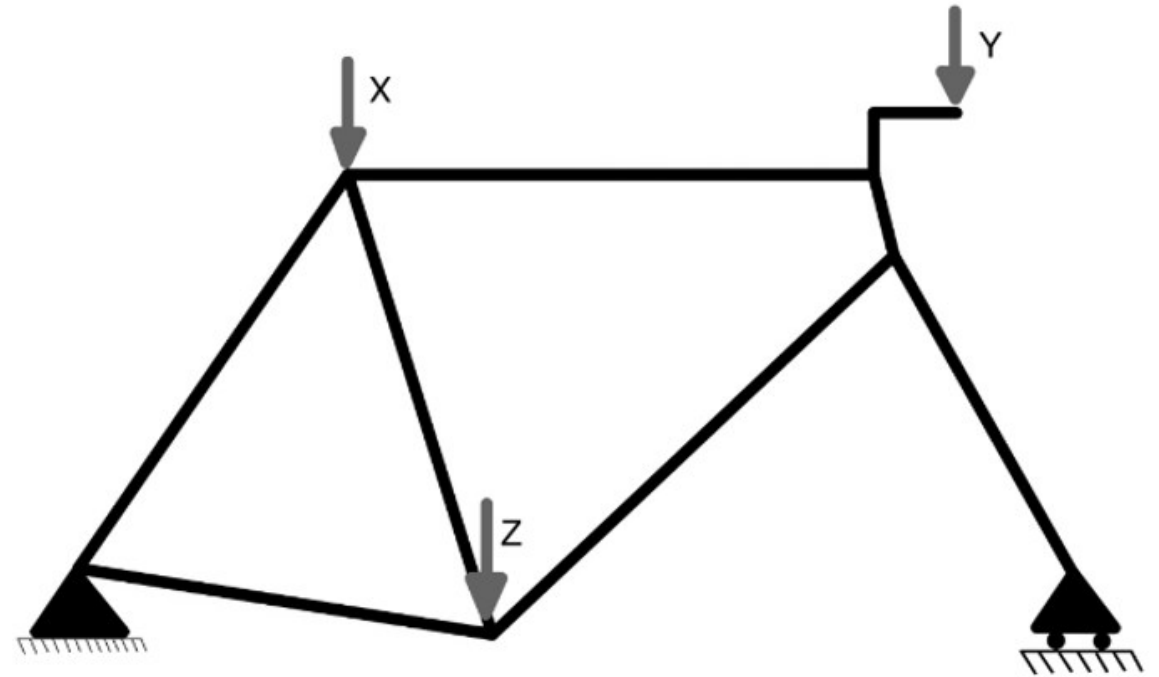
Tutor universitario:

Prof. Ugo Galvanetto

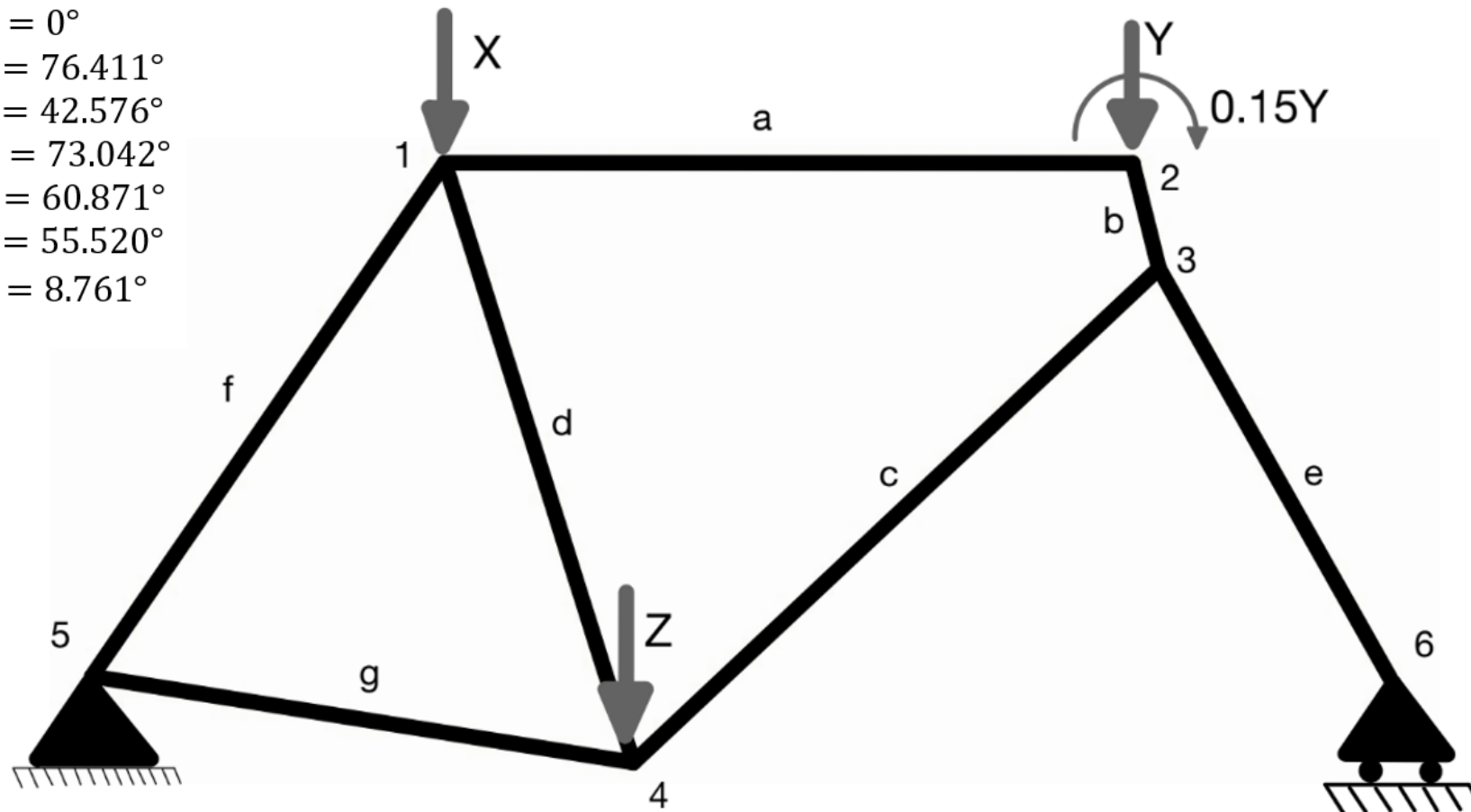
Laureando:

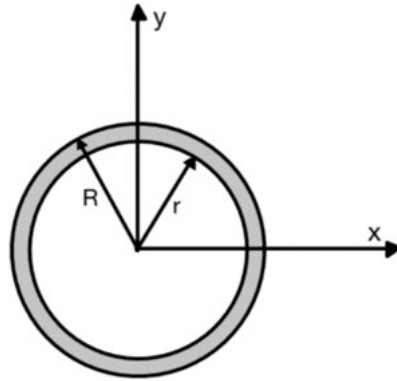
Vittorio Candiello

Padova, 29 settembre 2023



| | |
|-----------------------|---------------------------|
| $l_a = 59 \text{ cm}$ | $\alpha_a = 0^\circ$ |
| $l_b = 9 \text{ cm}$ | $\alpha_b = 76.411^\circ$ |
| $l_c = 62 \text{ cm}$ | $\alpha_c = 42.576^\circ$ |
| $l_d = 53 \text{ cm}$ | $\alpha_d = 73.042^\circ$ |
| $l_e = 40 \text{ cm}$ | $\alpha_e = 60.871^\circ$ |
| $l_f = 53 \text{ cm}$ | $\alpha_f = 55.520^\circ$ |
| $l_g = 46 \text{ cm}$ | $\alpha_g = 8.761^\circ$ |





$$\begin{aligned}
 I &= \int_A y^2 dA = \iint y^2 dx dy = \int_0^{2\pi} \int_r^R (\rho \sin\theta)^2 \rho d\rho d\theta = \\
 &= \int_0^{2\pi} (\sin\theta)^2 d\theta \cdot \int_r^R \rho^3 d\rho = \int_0^{2\pi} \left[\frac{1}{2} - \frac{1}{2} \cos(2\theta) \right] d\theta \cdot \int_r^R \rho^3 d\rho = \\
 &= \left[\frac{1}{2}\theta - \frac{1}{4} \sin(2\theta) \right]_0^{2\pi} \cdot \left[\frac{1}{4} \rho^4 \right]_r^R = \frac{\pi}{4} (R^4 - r^4)
 \end{aligned}$$

$$I = \frac{\pi}{4} [R^4 - (R - s)^4] = \frac{\pi}{4} [4sR^3 - 6R^2s^2 + 4Rs^3 + s^4]$$

$$S \ll R \longrightarrow I = \pi s R^3$$

$$\frac{I_j}{I_a} = \frac{R_j^3}{R_a^3} \longrightarrow I_j = \frac{D_j^3}{D_a^3} I_a$$

| | |
|------------------------|----------------------------|
| $D_a = 25 \text{ mm};$ | $I_a;$ |
| $D_b = 30 \text{ mm};$ | $I_b = 1.7280 \times I_a;$ |
| $D_c = 28 \text{ mm};$ | $I_c = 1.4049 \times I_a;$ |
| $D_d = 28 \text{ mm};$ | $I_d = 1.4049 \times I_a;$ |
| $D_e = 15 \text{ mm};$ | $I_e = 0.3024 \times I_a;$ |
| $D_f = 13 \text{ mm};$ | $I_f = 0.2812 \times I_a;$ |
| $D_g = 13 \text{ mm};$ | $I_g = 0.2812 \times I_a;$ |

$$A = 2\pi R \cdot s$$

resistenza alle rotture

| Materiale | Rm - N/mm2 |
|--|-----------------------|
| <i>Tubazioni in Lega d'Acciaio</i> | 1200 - 1500 |
| <i>Tubazioni in Lega di Titanio</i> | 800 - 900 |
| <i>Tubazioni in Lega d'Alluminio</i> | 400 - 470 |

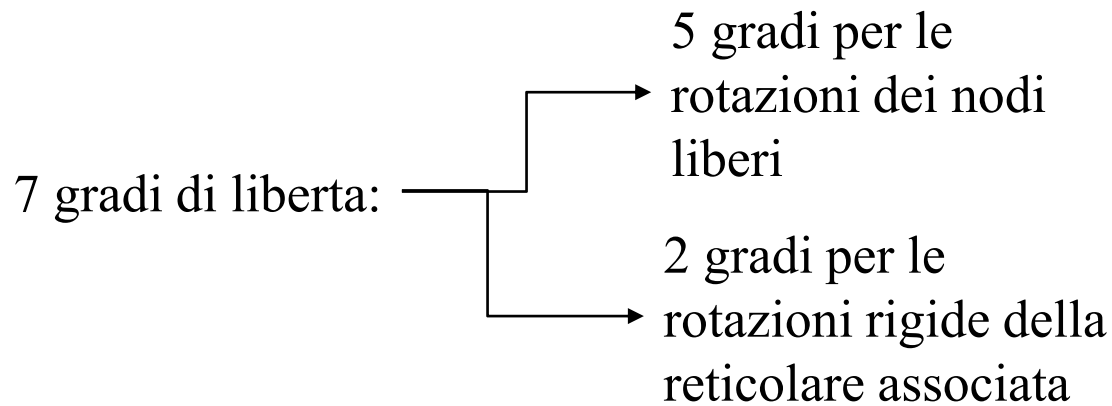
Tutte le aste composte dallo stesso materiale, quindi il risultato non dipende dalla rigidità del materiale

In genere il carico critico è quello di snervamento, un po' più basso del carico di rottura (70%)

Tensione ammissibile di riferimento per l'acciaio: 800 MPa

Metodo delle Rotazioni:

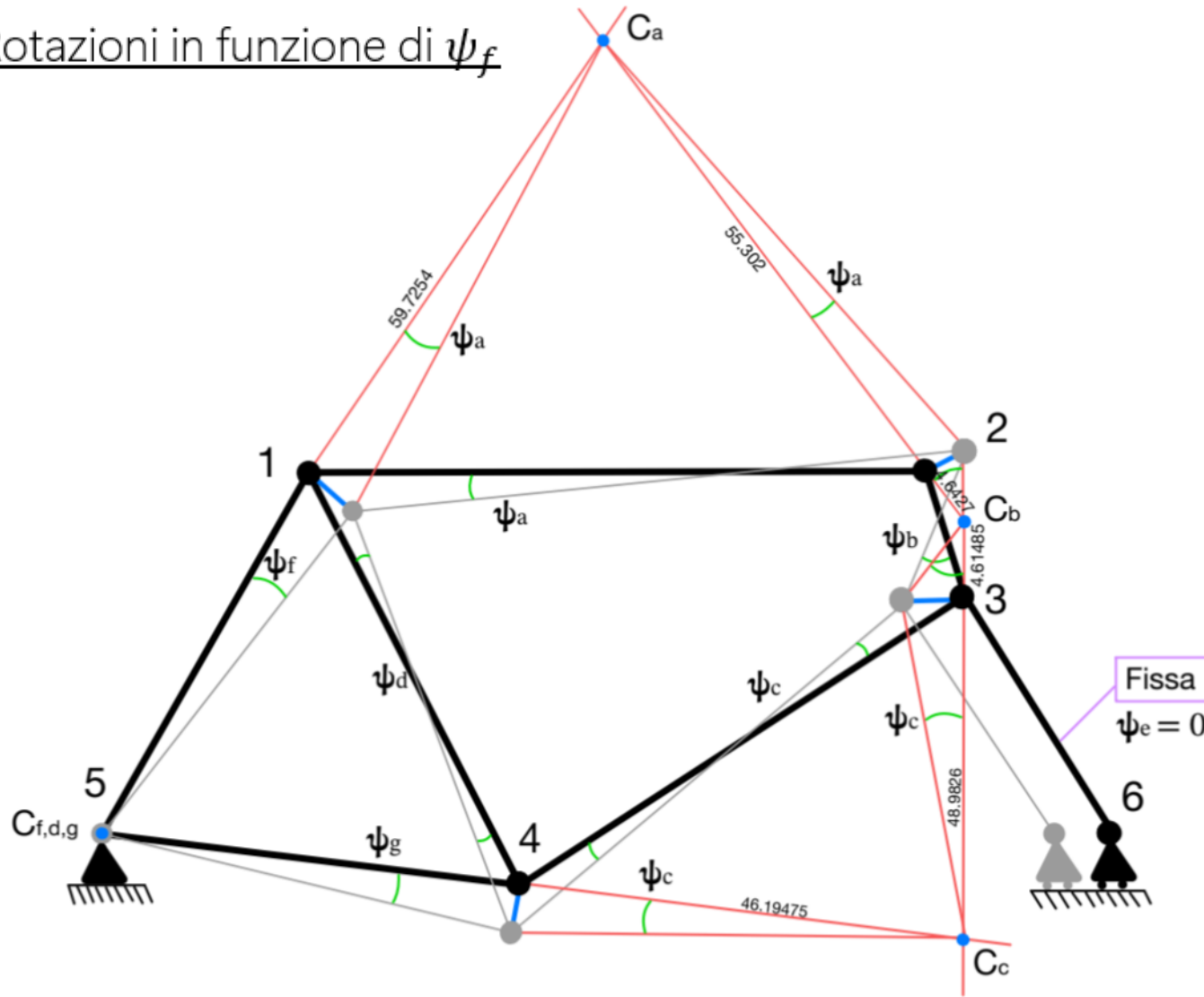
Si ipotizza una infinita rigidezza assiale, ossia le aste non si possono deformare assialmente.



Per il calcolo si procede in questo modo:

- Studio della reticolare associata
- 7 Stati della struttura
- Si impone l'equilibrio dei momenti ai nodi per le prime 5 equazioni e si applica il principio dei lavori virtuali per le ultime due
- Si risolve il sistema e si trovano i diagrammi dei momenti flettenti
- Si calcolano gli sforzi di taglio e gli sforzi normali.
- Infine si calcolano le tensioni massime agenti sulla sezione

Caso $\psi_e = 0$: Rotazioni in funzione di ψ_f

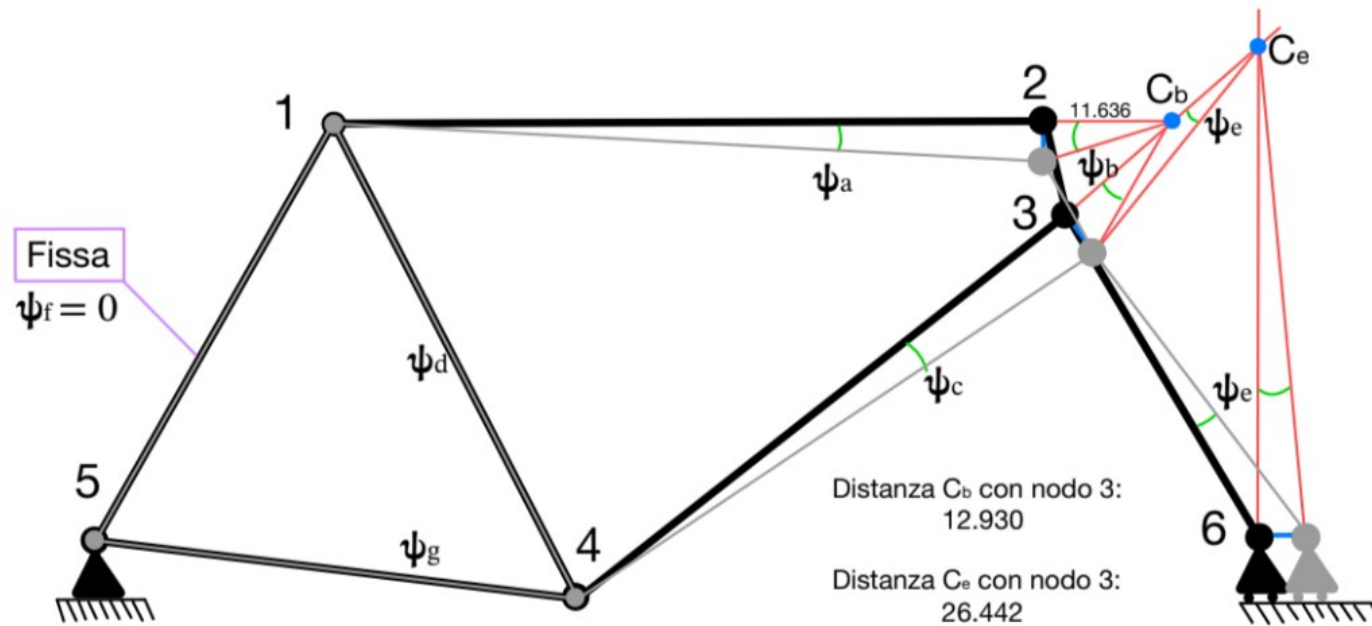


$$\begin{aligned} \psi_f &= \psi_d = \psi_g \\ 53 \cdot \psi_f &= 59.7254 \cdot \psi_a \\ 46 \cdot \psi_g &= 59.7254 \cdot \psi_c \\ 4.6427 \cdot \psi_b &= 59.7254 \cdot \psi_a \end{aligned}$$



$$\begin{aligned} \psi_d &= \psi_g = \psi_f \\ \psi_a &= 0.8874 \cdot \psi_f \\ \psi_c &= 0.9958 \cdot \psi_f \\ \psi_b &= 10.57 \cdot \psi_f \end{aligned}$$

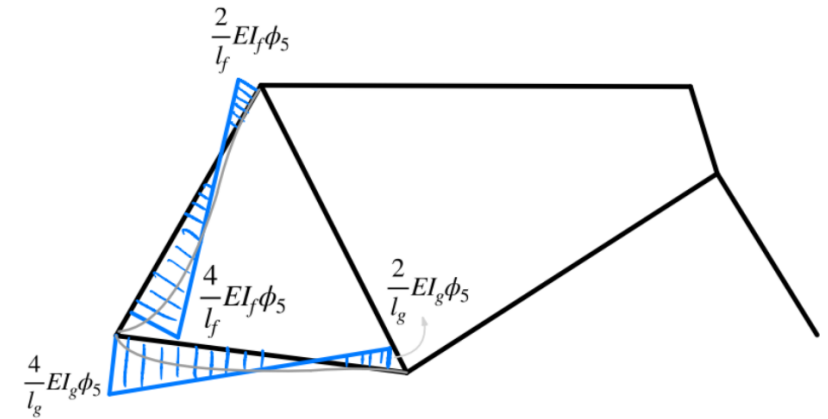
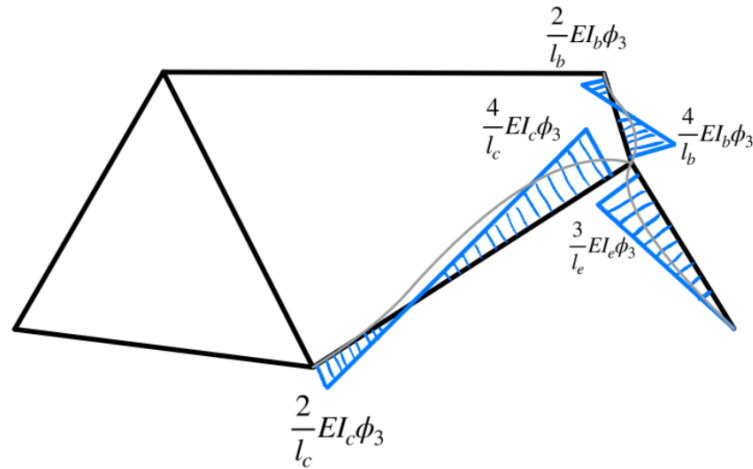
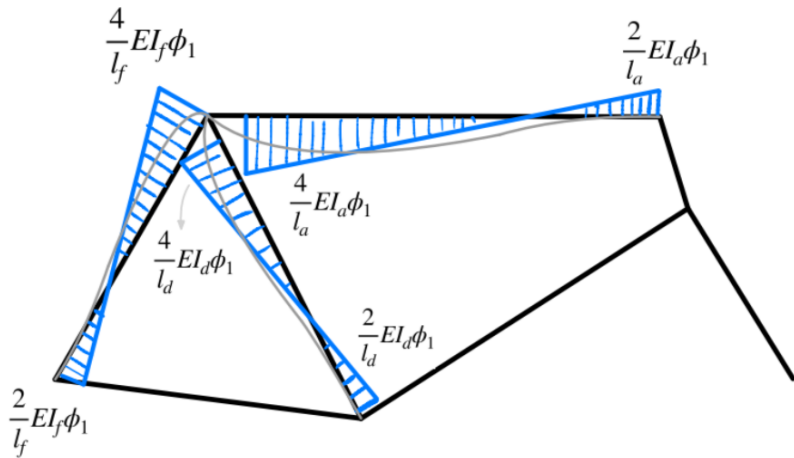
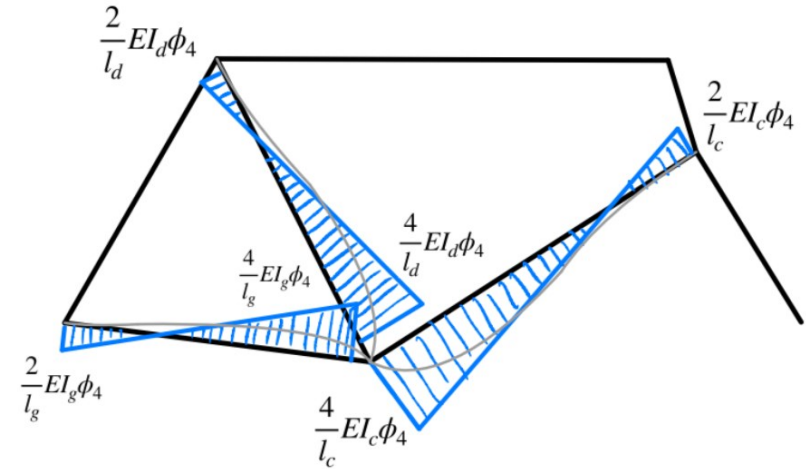
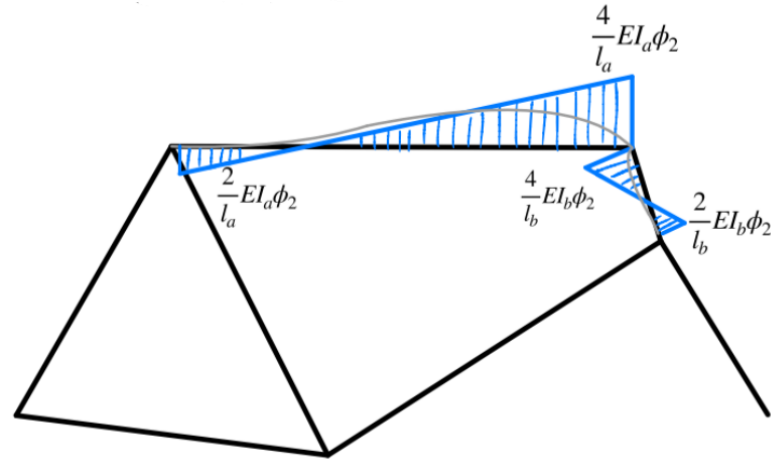
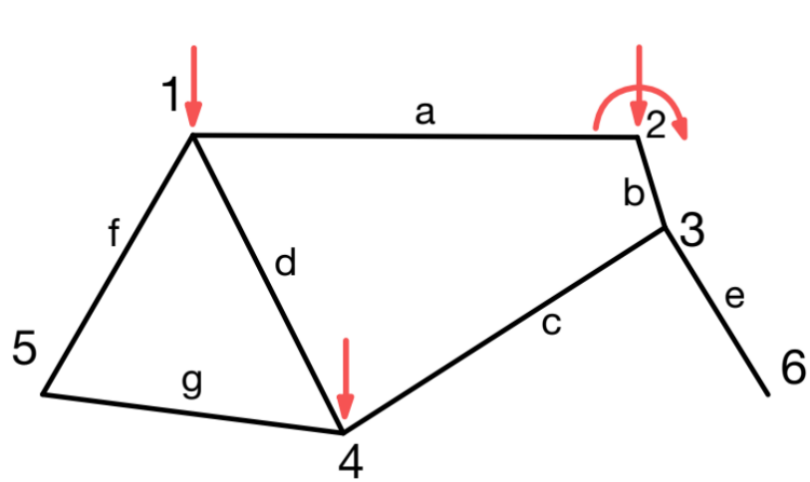
Caso $\psi_f = 0$: Rotazioni in funzione di ψ_e



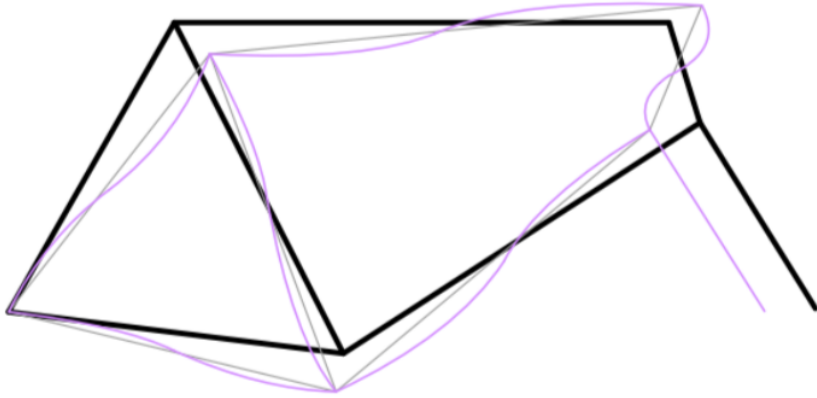
$$\begin{aligned} \psi_f = \psi_d = \psi_g &= 0 \\ 26.442 \cdot \psi_e &= 62 \cdot \psi_c \\ 12.930 \cdot \psi_b &= 26.442 \cdot \psi_e \\ 59 \cdot \psi_a &= 11.636 \cdot \psi_b \end{aligned}$$



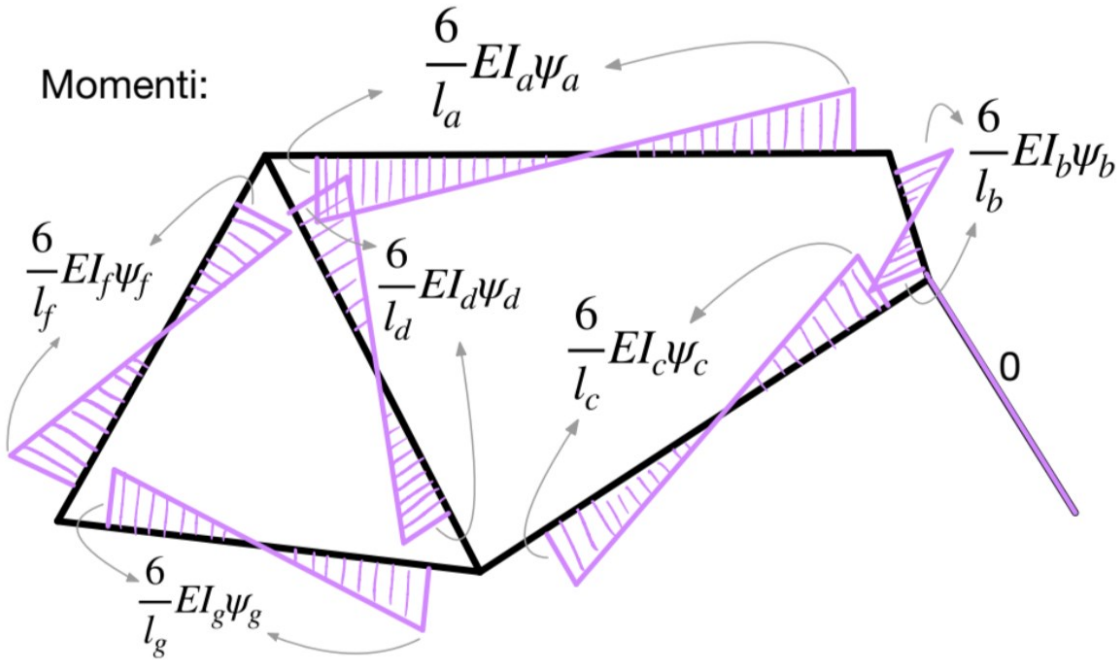
$$\begin{aligned} \psi_d = \psi_g = \psi_f &= 0 \\ \psi_a &= 0.42648 \cdot \psi_e \\ \psi_c &= 2.04501 \cdot \psi_e \\ \psi_b &= 0.40332 \cdot \psi_e \end{aligned}$$



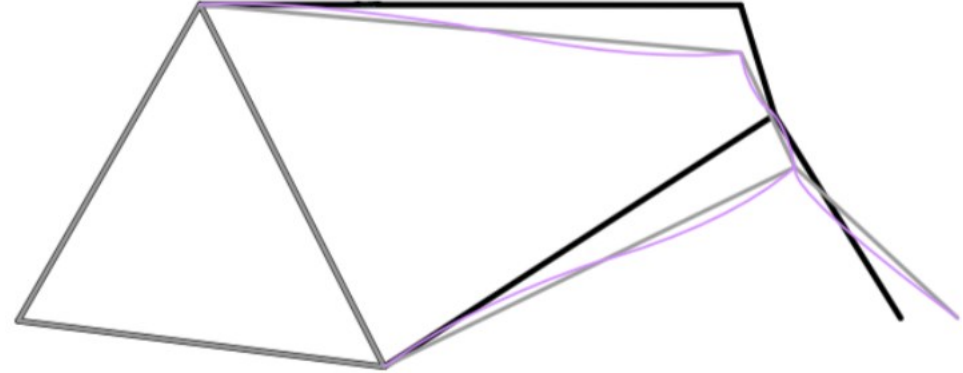
Deformazioni



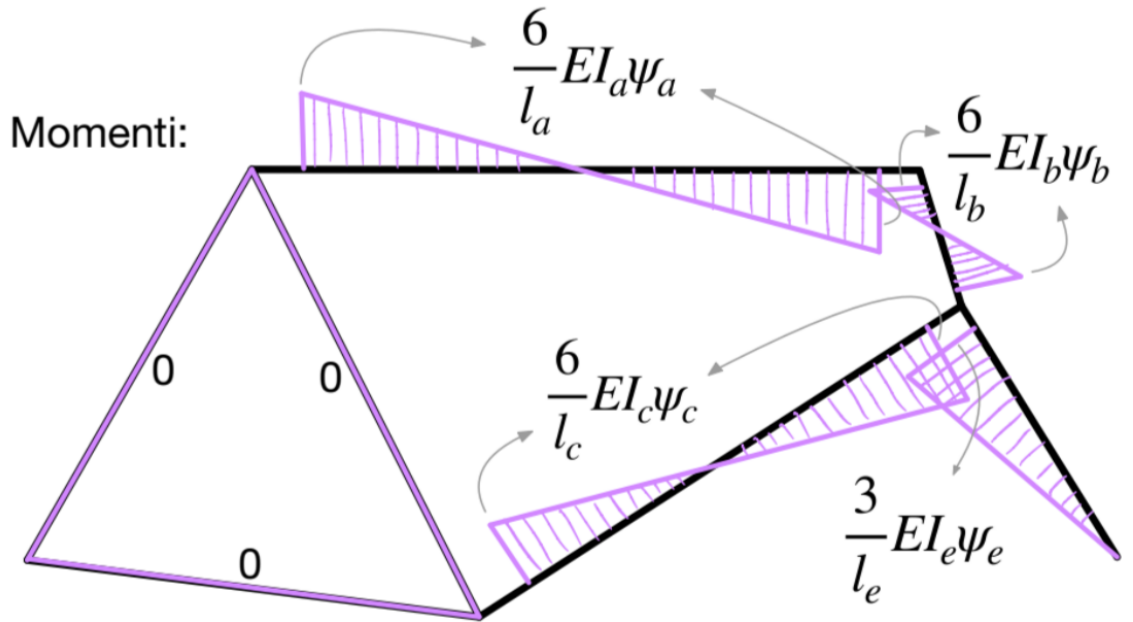
Momenti:



Deformazioni



Momenti:



Equilibrio al nodo 1 :

$$\frac{4}{l_f}0.2812x_1 + \frac{4}{l_d}1.4049x_1 + \frac{4}{l_a}x_1 + \frac{2}{l_a}x_2 + \frac{2}{l_d}1.4049x_4 + \frac{2}{l_f}0.2812x_5 - \frac{6}{l_f}0.2812x_6 - \frac{6}{l_d}1.4049x_6 + \frac{6}{l_a}0.8874x_6 - \frac{6}{l_a}0.40332x_7 = 0$$

Equilibrio al nodo 2 :

$$\frac{2}{l_a}x_1 + \frac{4}{l_a}x_2 + \frac{4}{l_b}1.728x_2 + \frac{2}{l_b}1.728x_3 + \frac{6}{l_a}0.8874x_6 - \frac{6}{l_b}1.728 \cdot 10.57x_6 - \frac{6}{l_a}0.40332x_7 + \frac{6}{l_b}1.728 \cdot 2.04501x_7 = 0.15Y$$

Equilibrio al nodo 3 :

$$\frac{2}{l_b}1.728x_2 + \frac{4}{l_b}1.728x_3 + \frac{4}{l_c}1.4049x_3 + \frac{3}{l_e}0.3024x_3 + \frac{2}{l_c}1.4049x_4 - \frac{6}{l_b}1.728 \cdot 10.57x_6 + \frac{6}{l_c}1.4049 \cdot 0.9958x_6 + \frac{6}{l_b}1.728 \cdot 2.04501x_7 - \frac{6}{l_c}1.4049 \cdot 0.42648x_7 + \frac{3}{l_e}0.3024x_7 = 0$$

Equilibrio al nodo 4 :

$$\frac{2}{l_d}1.4049x_1 + \frac{2}{l_c}1.4049x_3 + \frac{4}{l_g}0.2812x_4 + \frac{4}{l_c}1.4049x_4 + \frac{4}{l_d}1.4049x_4 + \frac{2}{l_g}0.2812x_5 - \frac{6}{l_d}1.4049x_6 - \frac{6}{l_g}0.2812x_6 + \frac{6}{l_c}1.4049 \cdot 0.9958x_6 - \frac{6}{l_c}1.4049 \cdot 0.42648x_7 = 0$$

Equilibrio al nodo 5 :

$$\frac{2}{l_f}0.2812x_1 + \frac{2}{l_g}0.2812x_4 + \frac{4}{l_f}0.2812x_5 + \frac{4}{l_g}0.2812x_5 - \frac{6}{l_f}0.2812x_6 - \frac{6}{l_g}0.2812x_6 = 0$$

Equazione di catena 6 :

$$\begin{aligned}
 & \psi_f \left(\frac{6}{l_f} 0.2812x_1 + \frac{6}{l_f} 0.2812x_5 - \frac{12}{l_f} 0.2812x_6 + l_a \cos(\alpha_a) X \right) \\
 & + \psi_d \left(\frac{6}{l_d} 1.4049x_1 + \frac{6}{l_d} 1.4049x_4 - \frac{12}{l_d} 1.4049x_6 \right) \\
 & + \psi_g \left(\frac{6}{l_g} 0.2812x_4 + \frac{6}{l_g} 0.2812x_5 - \frac{12}{l_g} 0.2812x_6 + l_g \cos(\alpha_g) Z \right) \\
 & + \psi_a \left(-\frac{6}{l_a} x_1 - \frac{6}{l_a} x_2 - \frac{12}{l_a} 0.8874x_6 + \frac{12}{l_a} 0.40332x_7 - 0.25188Y \right) \\
 & + \psi_b \left(\frac{6}{l_b} 1.728x_2 + \frac{6}{l_b} 1.728x_3 - \frac{12}{l_b} 1.728 \cdot 10.57x_6 + \frac{12}{l_b} 1.728 \cdot 2.04501x_7 \right) \\
 & + \psi_c \left(-\frac{6}{l_c} 1.4049x_3 - \frac{6}{l_c} 1.4049x_4 - \frac{12}{l_c} 1.4049 \cdot 0.9958x_6 + \frac{12}{l_c} 1.4049 \cdot 0.42648x_7 \right) \\
 & = 0
 \end{aligned}$$

Equazione di catena 7 :

$$\begin{aligned}
 & \psi_e \left(-\frac{3}{l_e} 0.3024x_3 - \frac{3}{l_e} 0.3024x_7 \right) \\
 & + \psi_b \left(-\frac{6}{l_b} 1.728x_2 - \frac{6}{l_b} 1.728x_3 + \frac{12}{l_b} 1.728 \cdot 10.57x_6 - \frac{12}{l_b} 1.728 \cdot 2.04501x_7 \right) \\
 & + \psi_a \left(\frac{6}{l_a} x_1 + \frac{6}{l_a} x_2 + \frac{12}{l_a} 0.8874x_6 - \frac{12}{l_a} 0.40332x_7 + l_a Y \right) \\
 & + \psi_c \left(\frac{6}{l_c} 1.4049x_3 + \frac{6}{l_c} 1.4049x_4 + \frac{12}{l_c} 1.4049 \cdot 0.9958x_6 - \frac{12}{l_c} 1.4049 \cdot 0.42648x_7 \right) \\
 & = 0
 \end{aligned}$$

Incognite:

$$x_1 = EI_a \phi_1; \quad x_2 = EI_a \phi_2; \quad x_3 = EI_a \phi_3;$$

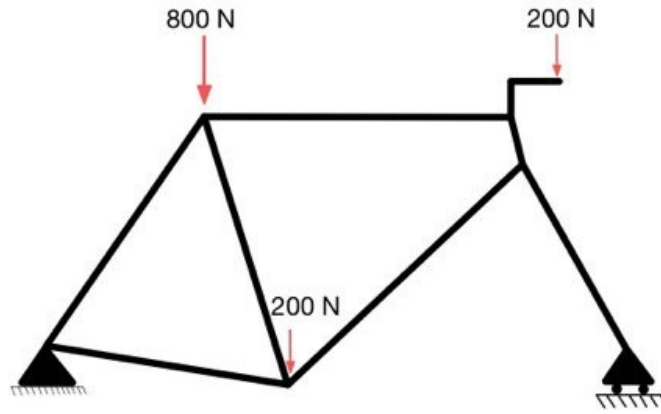
$$x_4 = EI_a \phi_4; \quad x_5 = EI_a \phi_5;$$

$$x_6 = EI_a \psi_f; \quad x_7 = EI_a \psi_e;$$

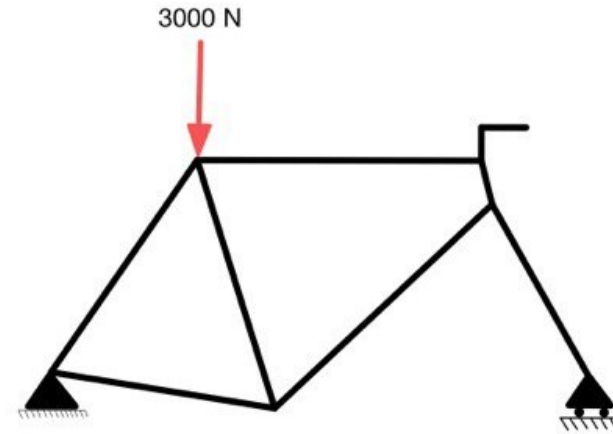
$$\begin{bmatrix} 19.505 & 3.3898 & 0 & 5.3015 & 1.0611 & 10.064 & 4.1016 \\ 3.3898 & 83.58 & 38.4 & 0 & 0 & 1208.6 & -231.48 \\ 0 & 38.4 & 88.132 & 4.5319 & 0 & 1204.1 & -232.05 \\ 5.3015 & 0 & 4.5319 & 22.112 & 1.2226 & 6.0336 & 5.7983 \\ 1.0611 & 0 & 0 & 1.2226 & 4.5675 & 6.8512 & 0 \\ -10.064 & -1208.6 & -1204.1 & -6.0336 & -6.8512 & -25830 & 4999.1 \\ -4.1016 & 231.48 & 232.05 & -5.7983 & 0 & 4999.1 & -974.07 \end{bmatrix} \begin{bmatrix} x_1 \\ x_2 \\ x_3 \\ x_4 \\ x_5 \\ x_6 \\ x_7 \end{bmatrix} =$$

$$\begin{bmatrix} 0 \\ 0.15Y \\ 0 \\ 0 \\ 0 \\ (-0.30004X + 0.22352Y - 0.45463Z) \\ -0.23796Y \end{bmatrix}$$

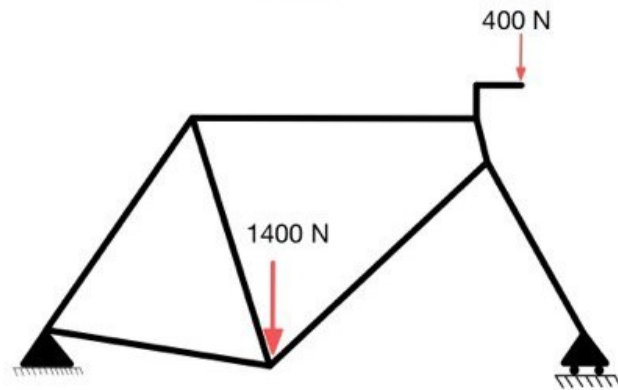
Caso A:



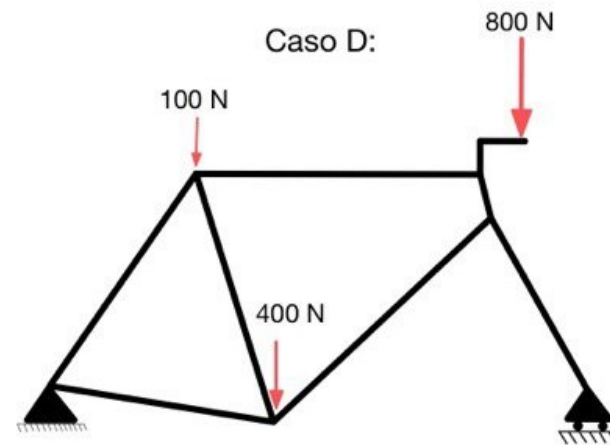
Caso B:



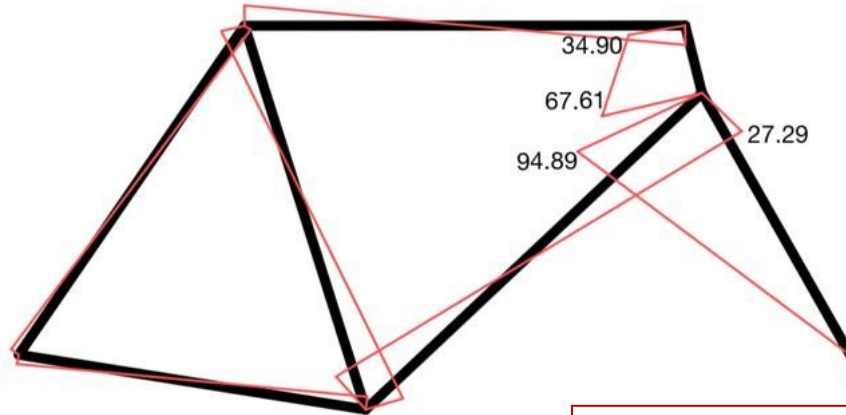
Caso C:



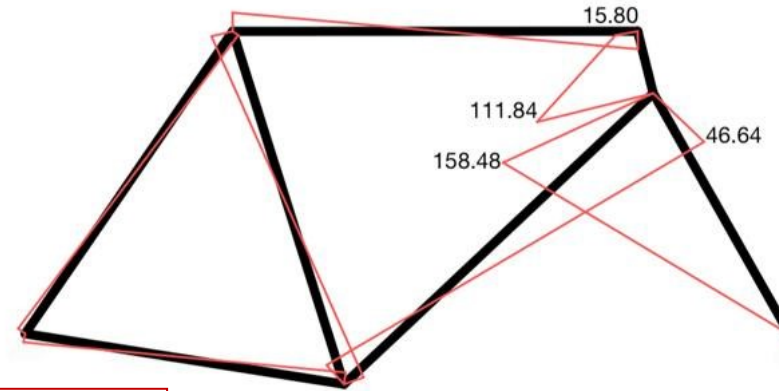
Caso D:



Caso A:

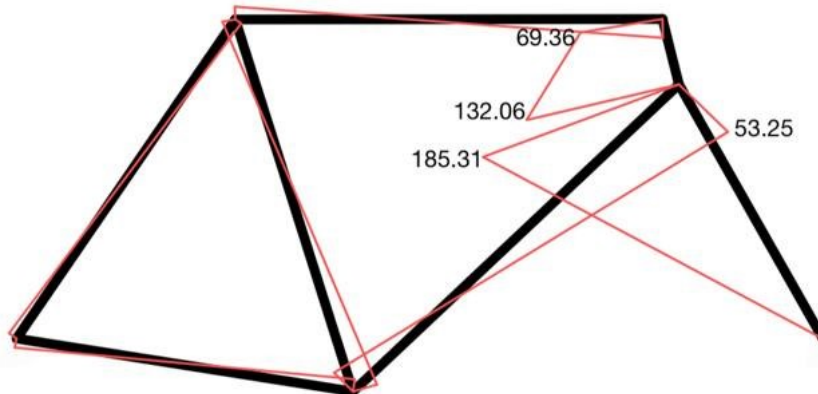


Caso B:

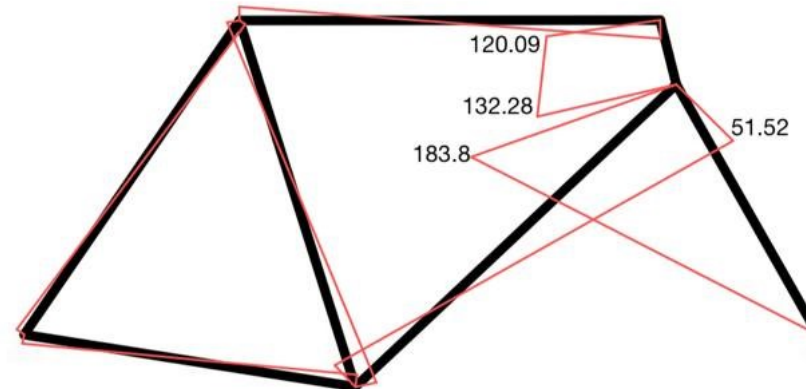


La forcina è sempre
l'asta più sollecitata

Caso C:



Caso D:



Caso A:

| <i>Momenti Flettenti :</i> | <i>Sforzi di Taglio :</i> | <i>Sforzi Normali :</i> |
|-------------------------------------|---------------------------|-------------------------|
| $M_{a1} = -3.97; M_{a2} = -4.90;$ | $T_a = 15.03;$ | $N_a = -418.58;$ |
| $M_{b2} = 34.90; M_{b3} = -67.61;$ | $T_b = 363.4;$ | $N_b = -278.14;$ |
| $M_{c3} = -27.29; M_{c4} = -10.24;$ | $T_c = 60.528;$ | $N_c = 512.82;$ |
| $M_{d1} = 4.21; M_{d4} = 8.53;$ | $T_d = -24.04;$ | $N_d = -167.36;$ |
| $M_{e3} = 94.89;$ | $T_e = -237.24;$ | $N_e = -425.71;$ |
| $M_{f1} = -0.24; M_{f5} = -0.46;$ | $T_f = 1.33;$ | $N_f = -786.94;$ |
| $M_{g4} = 1.71; M_{g5} = 0.46;$ | $T_g = -4.73;$ | $N_g = 448.93;$ |

Caso B:

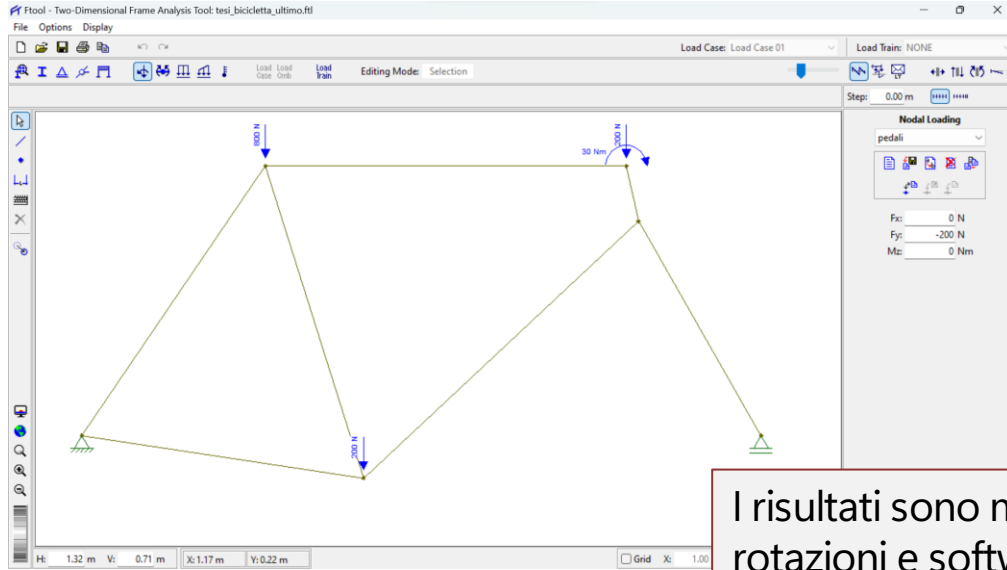
| <i>Momenti Flettenti :</i> | <i>Sforzi di Taglio :</i> | <i>Sforzi Normali :</i> |
|-------------------------------------|---------------------------|-------------------------|
| $M_{a1} = -9.59; M_{a2} = -15.80;$ | $T_a = 43.05;$ | $N_a = -1087.4;$ |
| $M_{b2} = 15.80; M_{b3} = -111.84;$ | $T_b = 1067;$ | $N_b = -213.65;$ |
| $M_{c3} = -46.64; M_{c4} = -18.23;$ | $T_c = 104.63;$ | $N_c = 1380.5;$ |
| $M_{d1} = 9.55; M_{d4} = 15.45;$ | $T_d = -47.17;$ | $N_d = -1093.9;$ |
| $M_{e3} = 158.48;$ | $T_e = -396.2;$ | $N_e = -710.97;$ |
| $M_{f1} = 0.05; M_{f5} = -0.63;$ | $T_f = 1.10;$ | $N_f = -2406.3;$ |
| $M_{g4} = 2.78; M_{g5} = 0.63;$ | $T_g = -7.42;$ | $N_g = 1376.3;$ |

Caso C:

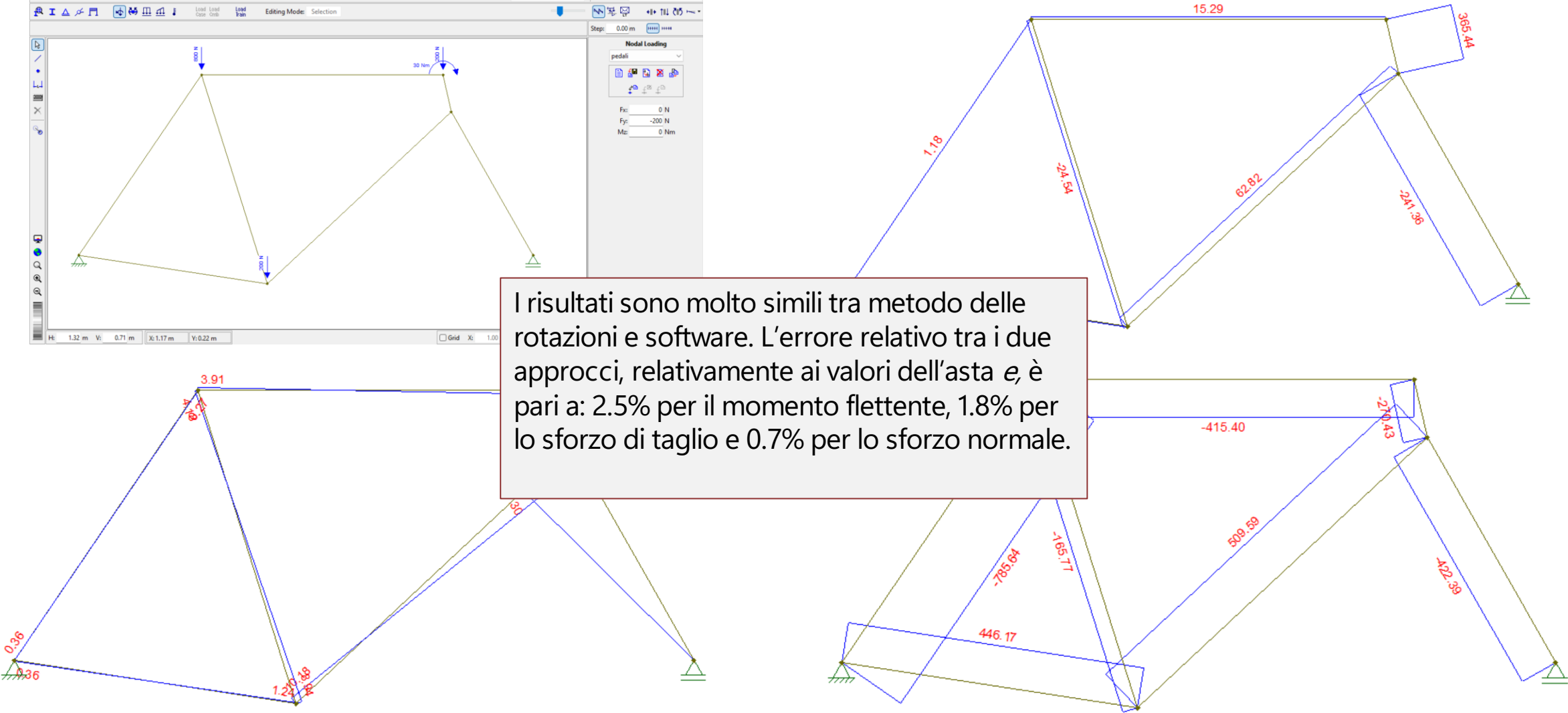
| <i>Momenti Flettenti :</i> | <i>Sforzi di Taglio :</i> | <i>Sforzi Normali :</i> |
|-------------------------------------|---------------------------|-------------------------|
| $M_{a1} = -7.66; M_{a2} = -9.36;$ | $T_a = 28.85;$ | $N_a = -806.44;$ |
| $M_{b2} = 69.36; M_{b3} = -132.06;$ | $T_b = 696.65;$ | $N_b = -550.23;$ |
| $M_{c3} = -53.25; M_{c4} = -19.97;$ | $T_c = 118.1;$ | $N_c = 986.64;$ |
| $M_{d1} = 8.15; M_{d4} = 16.62;$ | $T_d = -46.74;$ | $N_d = 793.2;$ |
| $M_{e3} = 185.31;$ | $T_e = -463.28;$ | $N_e = -831.34;$ |
| $M_{f1} = -0.49; M_{f5} = -0.91;$ | $T_f = 2.63;$ | $N_f = -940.68;$ |
| $M_{g4} = 3.35; M_{g5} = 0.91;$ | $T_g = -9.25;$ | $N_g = 535.21;$ |

Caso D:

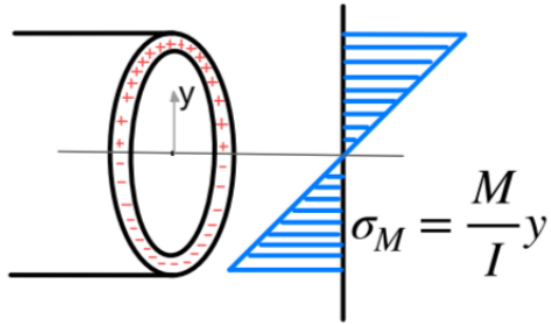
| <i>Momenti Flettenti :</i> | <i>Sforzi di Taglio :</i> | <i>Sforzi Normali :</i> |
|--------------------------------------|---------------------------|-------------------------|
| $M_{a1} = -4.02; M_{a2} = -0.09;$ | $T_a = 6.96;$ | $N_a = -331.02;$ |
| $M_{b2} = 120.09; M_{b3} = -132.28;$ | $T_b = 135.42;$ | $N_b = -848.61;$ |
| $M_{c3} = -51.52; M_{c4} = -18.45;$ | $T_c = 112.85;$ | $N_c = 345.84;$ |
| $M_{d1} = 5.05; M_{d4} = 15.03;$ | $T_d = -37.88;$ | $N_d = 243.14;$ |
| $M_{e3} = 183.8;$ | $T_e = -459.49;$ | $N_e = -824.54;$ |
| $M_{f1} = -1.03; M_{f5} = -1.07;$ | $T_f = 3.96;$ | $N_f = -401.21;$ |
| $M_{g4} = 3.4192; M_{g5} = 1.07;$ | $T_g = -9.76;$ | $N_g = 225.01;$ |



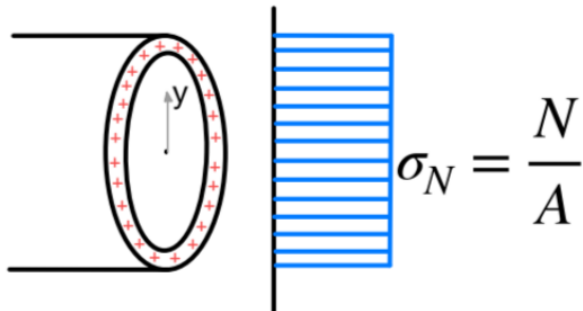
I risultati sono molto simili tra metodo delle rotazioni e software. L'errore relativo tra i due approcci, relativamente ai valori dell'asta e, è pari a: 2.5% per il momento flettente, 1.8% per lo sforzo di taglio e 0.7% per lo sforzo normale.



Momento flettente



Sforzo normale



Sforzo di taglio

Per quanto riguarda il problema di Saint Venant per il taglio si sfrutta il teorema di Jourawsky:

$$\tau_z = \frac{T_y}{b \cdot I_x} S_x$$

Considerando che:

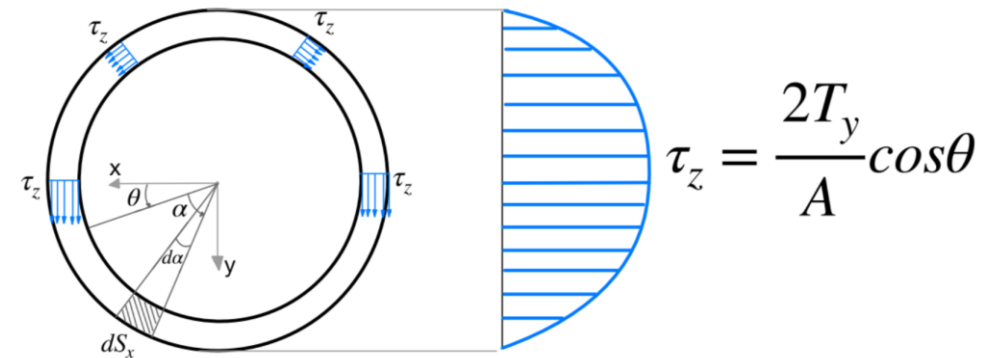
$$I_x = \pi s R^3;$$

$$b = 2s;$$

$$dS_x = y dA = R \sin \alpha d\alpha;$$

$$S_x = 2 \int_{\theta}^{\pi/2} s R^2 \sin \alpha d\alpha = 2s R^2 \cos \theta;$$

Si giunge alla seguente:



Ora che sono note le distribuzioni di σ e τ si conosce il tensore della tensione in ogni punto della sezione. Calcolando gli autovalori, si ottiene la tensione (massima) rispetto al sistema principale. Essendo sotto ipotesi di Saint Venant, in due dimensioni, il tensore della tensione è:

$$T = \begin{bmatrix} 0 & 0 & 0 \\ 0 & 0 & \tau_{zy} \\ 0 & \tau_{zy} & \sigma_z \end{bmatrix}$$

Di conseguenza gli autovalori si trovano con la seguente formula:

$$\sigma_{1,2} = \frac{\sigma_z \pm \sqrt{\sigma_z^2 + 4\tau_{zy}^2}}{2}$$

MA

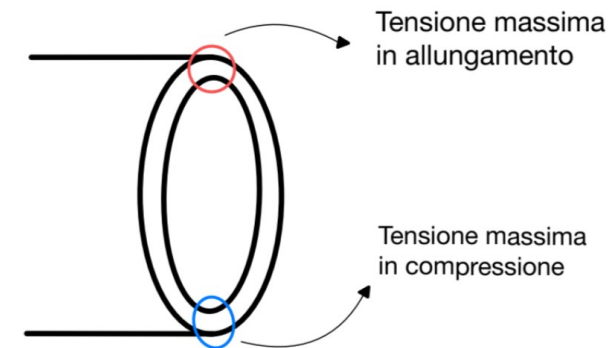
$$|\sigma_{M,max}| = \frac{M_{e3}}{I_e} R_e = 319.64 \text{ Mpa}$$

$$|\sigma_N| = \frac{N_e}{A_e} = 3.76 \text{ Mpa}$$

$$|\tau_{max}| = 2 \cdot \frac{T_e}{A_e} = 4.2 \text{ Mpa}$$

Quindi:

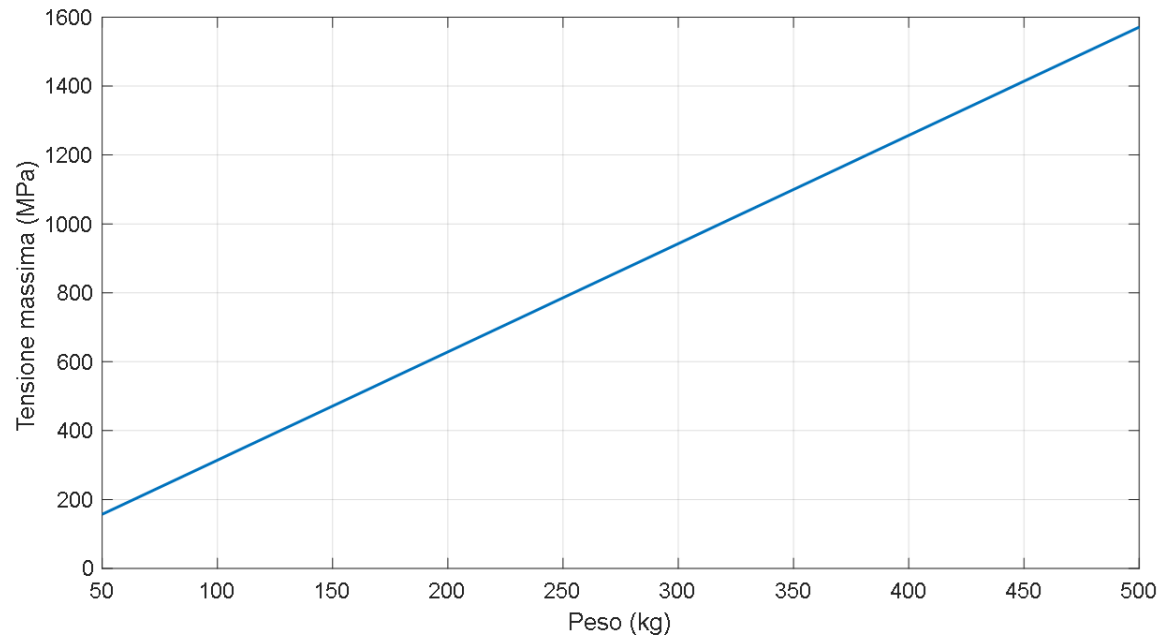
$$\sigma_{max} = \frac{|M_{e3}|}{I_e} R_e + \frac{|N_e|}{A_e}$$



| Caso A | Caso B | Caso C | Caso D |
|------------------------|------------------------|------------------------|------------------------|
| $\sigma_{max} = 323.4$ | $\sigma_{max} = 540.1$ | $\sigma_{max} = 631.5$ | $\sigma_{max} = 626.4$ |

Unità: MPa

Si ricordi che la
tensione ammissibile è
800 MPa



Metodo

Accurato, utile per una
prima valutazione statica

Materiali

L'acciaio resiste
L'alluminio no

Spessore dei tubi

Inversamente proporzionale alle
tensioni.
Nella realtà ogni tubo ha uno
spessore diverso